

## II-22 土砂輸送パイプの抵抗法則について

京都大学防災研究所 正員 矢野勝正  
京大工業教員養成所 正員。大同淳之

管路によって土砂を水とともに輸送する場合、管の抵抗法則は、従来図-1に示すように、ある特定の管径、土砂の粒径と対象として、縦軸に摩擦損失、横軸に平均流速、パラメーターに土砂の濃度ととって表されている。この方法は、管の抵抗を計算するにあたりて、管径、土砂の粒径などが計算せんとする条件に一致しに実験例があれば、摩擦損失が直接与えられて好都合であるが、条件の異なる場合には、諸種の条件を勘案して定めなければならない。これら条件をみたすためには数多くの実験を必要とする。ここでは上記の流れを擬塑性流体として扱うことによって、これらの流体の特性値とこれを利用することによって、抵抗法則を求めるとしたものである。

変形速度  $du/dr$  とせん断応力との関係が次式で表されるものとする。

$$-du/dr = \tau^n / \mu$$

ここに  $n$  は構造粘度指数で、流体の性質によって定まる定数、 $\mu$  は擬塑性粘度である。

定常流の場合、管長さ間の二断面のつりあいから

$$r/R = \tau/\tau_w$$

$$\tau_w = R \cdot \Delta P / 2L$$

が成立する。ここに  $R$  は管の半径、 $\tau_w$  は壁面せん断応力  $\Delta P$  は管長さ間の圧力降下を示す。(1)式に(2)式を代入して積分すると、

$$U = \frac{R \tau_w^n}{(n+1) \mu} \left\{ 1 - \left( \frac{r}{R} \right)^{n+1} \right\} \quad (3)$$

$$Q = \int_0^R 2\pi r u dr = \frac{\pi R^3}{(n+3) \mu} \tau_w^n \quad (4)$$

$$U_m = \frac{Q}{\pi R^3} = \frac{R}{(n+3) \mu} \tau_w^n \quad (5)$$

が得られる。よって(2)、(5)式より

$$\frac{\Delta P}{l} = \left( \frac{4Q}{\pi R^3} \right) = n \log \left( \frac{R \cdot \Delta P}{2L} \right) + \log \frac{4}{(n+3) \mu} \quad (6)$$

となる。 $4Q/\pi R^3$  と  $R \cdot \Delta P / 2L$  の関係を対数方眼紙にプロットし、もしデーターが直線になれば(1)式が成立することになり、その直線の勾配から構造粘度指数  $n$  が定まる。また

$$\mu = \left\{ \frac{4Q}{\pi R^3} / (n+3) Q \right\} \left\{ (R \cdot \Delta P / 2L) \right\}^n \quad (7)$$

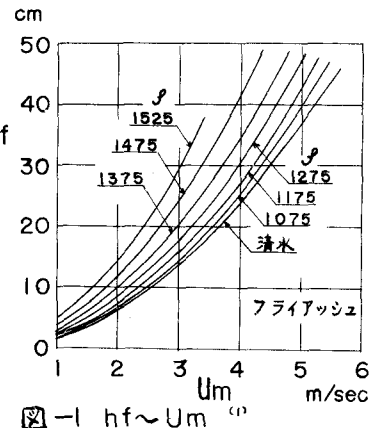


図-1  $hf \sim U_m$

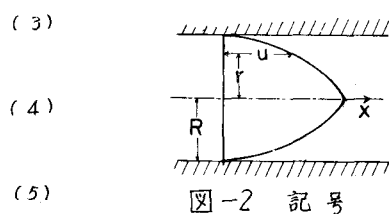


図-2 記号

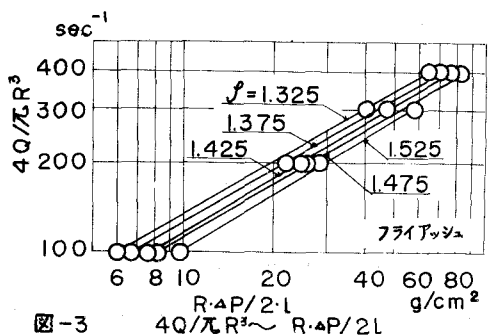


図-3  $4Q/\pi R^3 \sim R \cdot \Delta P / 2L$

として求まる。摩擦損失係数と流速の関係は次式で表はすものとする。

$$\frac{\Delta P}{l} = 4 \frac{f}{D} \frac{1}{2} \rho U_m^2 \quad (8)$$

ここに  $D$  は管径である。圧力損失に直接関係する壁面におけるせん断応力は、平均流速が等しくても  $\kappa$  の値によって異なるので、(8)式に採用すべし  $U_m^2$  として、次に定義する  $U^2$  を用いる。  
 $U^2 = \frac{2\pi}{\pi R^2} \int_0^R r u^2 dr = \frac{n+3}{n+2} U_m^2 \quad (9)$

ただし、 $U_m^2$  と  $U^2$  は当然異なるので、 $\kappa = 1$  すなわちニュートン流体の場合について比較すると、ニュートン流体の場合

$$U^2 = \frac{2\pi}{\pi R^2} \int_0^R r u^2 dr = \frac{\tau_w^2 R^2}{12 M^2} \quad U_m^2 = \frac{\tau_w^2 R^2}{16 M^2} \quad (10)$$

であるから結局  $U^2 = (4/3) U_m^2$  の関係がある。ゆえに  $\Delta P/l = 4 \frac{f}{D} \frac{1}{2} \frac{3}{4} \rho U^2$  とすると  $f \cdot Re / 16$  の関係を利用することができます。この関係をみたすように  $Re$  数を定めると

$$Re = \frac{s(n+3)^{1-\frac{1}{n}}}{2^{\frac{1}{n}}(n+2)} \frac{\rho U_m^{2-\frac{1}{n}} D^{\frac{1}{n}}}{M^{\frac{1}{n}}} \quad \lambda = \frac{\Delta P/l}{\frac{2}{D} \rho U_m^2 G(n)} \quad G(n) = \frac{3}{4} \frac{n+3}{n+2} \quad (11)$$

として、尾流の領域における抵抗係数を定めることができる。

乱流の場合、乱れによる混合によって流速分布は均一化するが、これは尾流において  $\kappa$  の値が変化したと同じ結果となり、尾流と同じ運動方程式が成立するものとする。擬塑性流体の混合機構は不明であるから、次元解析によるものとし、管内の流速を次式で表す。

$$U = f_1(f \cdot R \cdot \tau_w \cdot M \cdot n \cdot y) \quad (13) \quad \text{次元解析によると } \frac{U}{U_*} = f_1 \left( \frac{R \cdot f^n U_*^{2n-1}}{M} \cdot \frac{y}{R} \cdot n \right) \quad (13)$$

ニュートン流体と同様に尾流底層なるものが存在するとすると、(13)式と同じ式が成立する。パーセント中央部の乱流域では、ニュートン流体の場合と同様に  $M$  が省略しうるとすると

$$U_{max} - U = f_3(f \cdot R \cdot \tau_w \cdot n \cdot y) \quad (14) \quad \text{次元解析によると } \frac{U_{max} - U}{U_*} = f_3 \left( \frac{y}{R} \cdot n \right) \quad (15)$$

(15)式において  $U$  が平均流速  $U_m$  に等しいとき  $\frac{U_{max} - U}{U_*} = P_n$  とし、(13)式より  $\frac{U_{max}}{U_*} = f_1(Z \cdot n) = F_1(Z \cdot n)$  ここに  $Z = R \cdot f^n U_*^{2n-1} / M$  とすると  $U_m / U_* = \sqrt{2/Z}$  の関係から  
 $\sqrt{2/Z} = U_{max}/U_* - P_n \quad (16)$

となる。尾流底層内の流れ  $U/U_* = f_2(Z \cdot \tau_w \cdot n)$  (17) ここに  $\tau_w = y/R$  とすると、尾流底層の外側では (15)式と (17)式が同時に成立することから

$$f_2(Z \cdot \tau_w \cdot n) = F_1(Z \cdot n) - f_3(\tau_w \cdot n) \quad (18), \quad n の 特定 の 場 合 f_{2n}(Z \cdot \tau_w) = F_{1n}(Z) - f_{3n}(\tau_w) \quad (19)$$

$$df_{2n}/d(Z \cdot \tau_w) = f'_{2n} \text{ とすると } df_{2n}/dZ = f'_{2n} \tau_w \quad df_{2n}/d\tau_w = f'_{2n} Z \quad (19) \text{ 式 より } f'_{2n} \tau_w = dF_{1n}/dZ$$

$$f'_{2n} Z = -df_{3n}/d\tau_w \text{ であるから両者の関係を満足させると } f'_{2n} = A/Z \tau_w \text{ の形でなければならぬ。ゆえに } df_{1n}/dZ = A_n dZ/Z \quad F_{1n}(Z) = U_{max}/U_* = A_n \ln Z + B_n \quad (20)$$

(20)式と (16)式に代入すると  $\sqrt{2/Z} = A_n \ln Z + B_n - P$  となり ニュートン流体と同様に抵抗法則が対数形で表されることになる。参考文献：(1)長谷川涼太郎他 サンドボンの性能ならびに管抵抗の実験 連研報告 1957. (2) 富田幸雄、非ニュートン流体の工学的取扱い 日本機械学会誌 昭35.12. (3) D.W. Dodge et al: Turbulent Flow of Non-Newtonian System. A.I.Ch.E. Jour. Vol.5 No2